

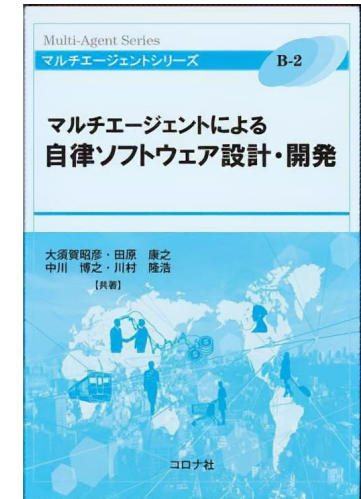
[第2部] 自己適応システムと モデル検査の応用

2021.02.18 第64回OACIS技術座談会

大阪大学 大学院情報科学研究科 中川 博之

自己紹介: 中川 博之

- ▶ 大阪大学 大学院情報科学研究科
ディペンダビリティ工学講座 (土屋研究室) 准教授
- ▶ 専門：ソフトウェア工学, 知的システム
 - ▶ 要求工学, ゴールモデル
 - ▶ 自己適応システム, エージェント技術
 - ▶ ソフトウェア進化
- ▶ 書籍：
 - ▶ 大須賀昭彦, 田原康之, 中川博之, 川村隆浩, マルチエージェントによる自律ソフトウェア設計・開発, コロナ社, 2017.
- ▶ 学会活動：
 - ▶ 電子情報通信学会 知能ソフトウェア工学研究会 (KBSE)：委員長
 - ▶ 情報処理学会 ソフトウェア工学研究会 (SIG-SE)：運営委員
 - ▶ ACM/IEEE 24th International Conference on Model Driven Engineering Languages and Systems (MODELS2021)：Local Arrangements Chairs



増え続けるシステム障害

- ▶ ANA 国内線旅客システム (2016年3月22日)

- ▶ 全国49空港で搭乗手続きができない
719便, 72,000人以上に影響, 予約もできない
 - ▶ 原因: スイッチ(ネットワーク機器)の不具合



- ▶ みずほ銀行 (2011年3月15日~24日)

- ▶ 全ATM休止, 振込み未入金, 二重振込みも見つかる
 - ▶ 原因: 義援金口座の上限値をオーバー, 異常終了



- ▶ 東証システム (2020年10月1日, 2012年2月2日, 2005年11月1日)

- ▶ 2020年10月1日: 終日株式売買が停止
 - ▶ 原因: NASの製品マニュアルに不備, バックアップ機への自動切り替えが5年間オフになっていた
- ▶ 2012年2月2日: 241銘柄(全体の一割)の取引を停止
 - ▶ 原因: サーバ障害時の切り替えミス (人的要因)
- ▶ 2005年11月1日: 午前中の取引が全面停止
 - ▶ 原因: システム増強時の移行体制の不備 (人的要因)



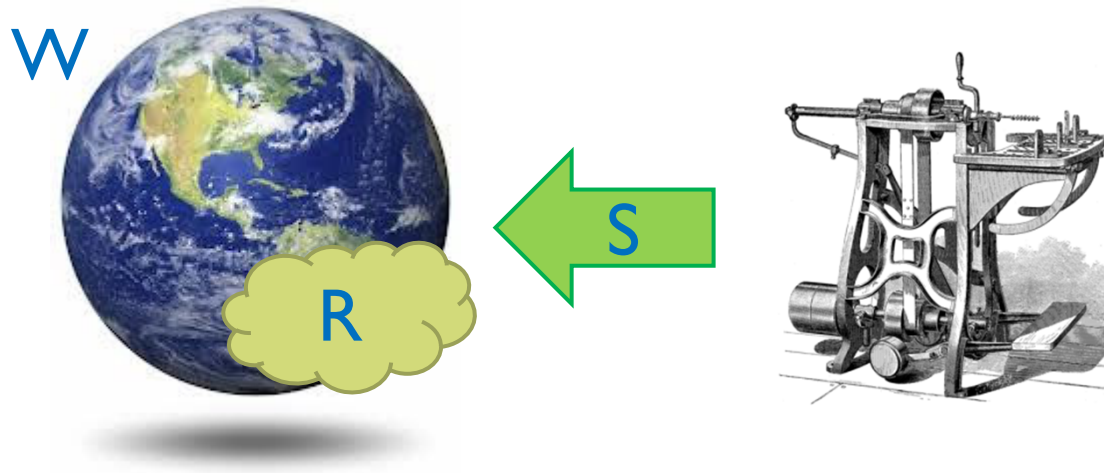
システム障害を無くすには？

- ▶ 原因を総括すると ...
 - ▶ システム構成要素 (SW, HW共に) の増加, 複雑化
 - ▶ SWのバグ, HW機器の故障件数の増加
 - ▶ システム全体を詳細に把握することが困難に
 - ▶ 人的要因
 - ▶ 例え訓練されていてもミスを完全に無くすことは困難
 - ▶ では, どうすればよいか??
- システム自身が, 振る舞いや構成を切替えられる
とよい

要求とソフトウェア仕様との関係

- ▶ Requirements and specifications [Zave97]
 - ▶ R = requirements, S = specifications, W = world

$$W \wedge S \vdash R$$



- ▶ 5 [Zave97] Pamela Zave and Michael Jackson. 1997, Four dark corners of requirements engineering. ACM Transactions on Software Engineering and Methodology, Vol. 6, No. 1, 1997.

ソフトウェア進化と適応

- ▶ Requirements and specifications [Zave97]
 - ▶ R = requirements, S = specifications, W = world

$$W \wedge S \vdash R$$

- ▶ ソフトウェア進化 (software evolution):

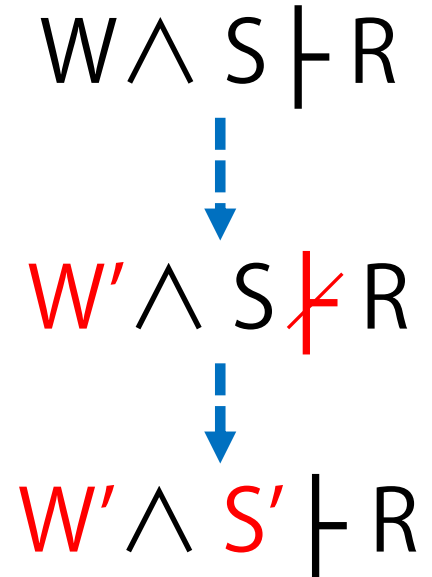
$$W \wedge S \vdash R \xrightarrow{R \rightarrow R'} W \wedge S \not\vdash R' \xrightarrow{S \rightarrow S'} W \wedge S' \vdash R'$$

- ▶ 適応 (adaptation):

$$W \wedge S \vdash R \xrightarrow{W \rightarrow W'} W' \wedge S \not\vdash R \xrightarrow{S \rightarrow S'} W' \wedge S' \vdash R$$

適応の例

- ▶ R: フロアが綺麗な状態である
- ▶ W: ほこりが落ちている
- ▶ S: 吸引による清掃
- ▶ W': 牛乳がこぼれている
- ▶ S': 拭き掃除による清掃



自己適応性

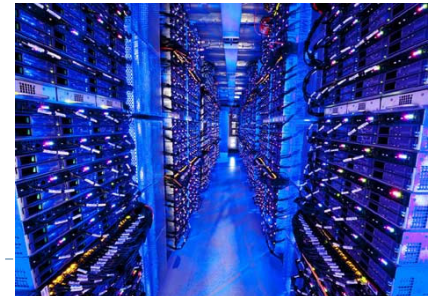
- ▶ 自己適応性 (self-adaptivity) :

- ▶ $W \wedge S \vdash R \Rightarrow W' \wedge S' \vdash R$

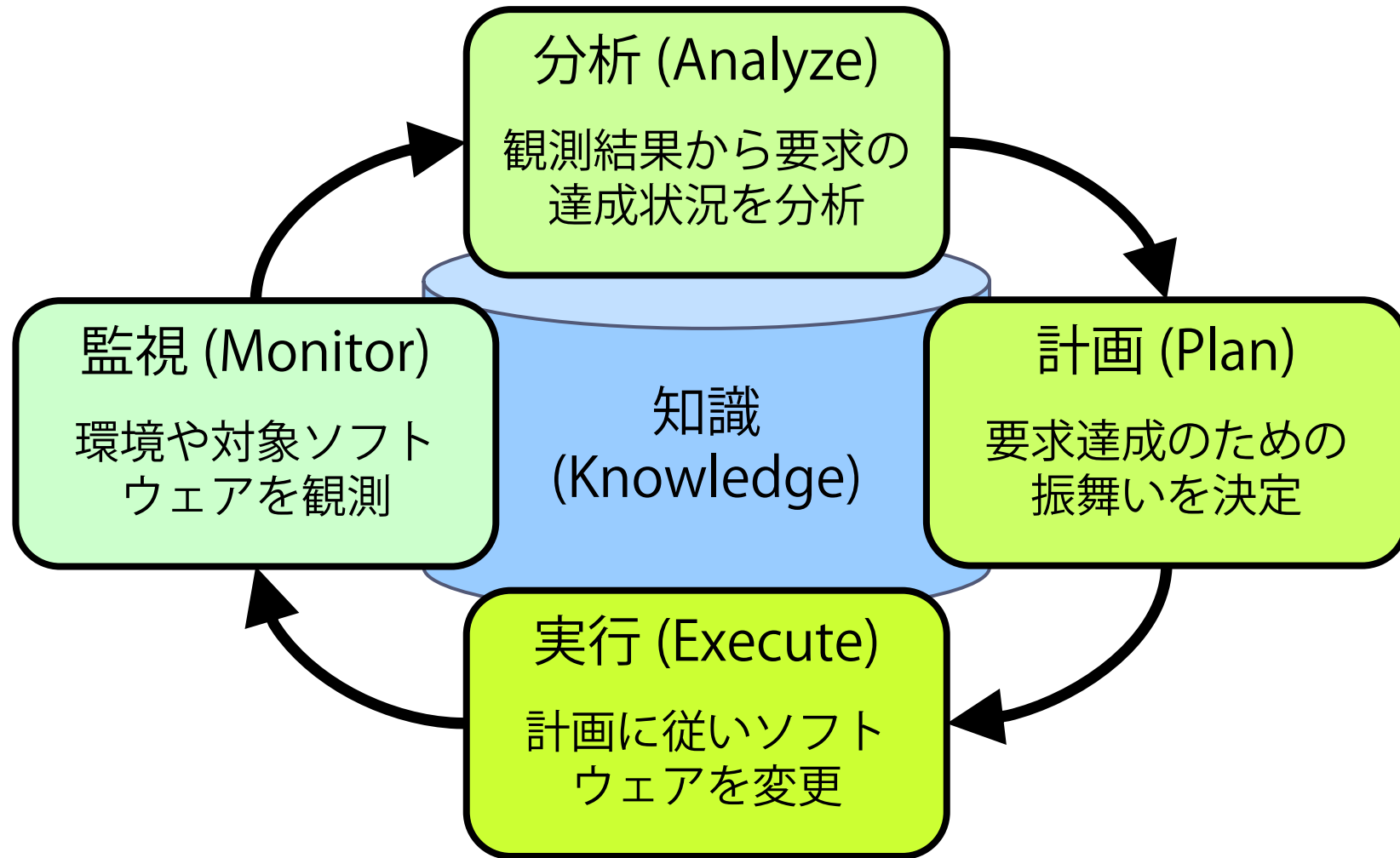
を自らが実現できる性質

- ▶ 以下の機能を有する必要がある

- ▶ 環境を観測することができる (Monitor)
 - ▶ 現在の状況を分析することができる (Analyze)
 - ▶ 望ましい振る舞いを決定することができる (Plan)
 - ▶ 振舞いを切り替えることができる (Execute)

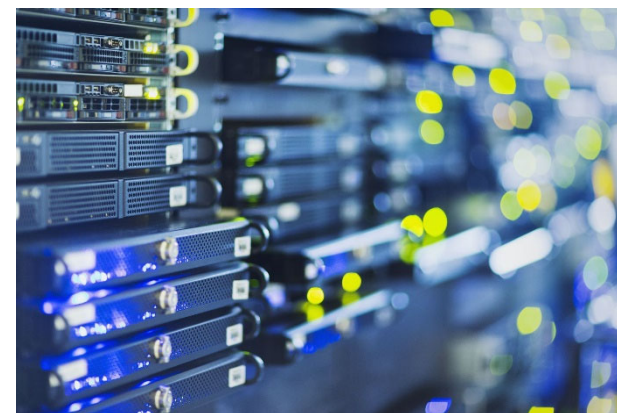


MAPE loop /MAPE-K loop



自己適応システム

- ▶ 以下の分野での実用化が期待されている
- ▶ 大規模サーバ管理
 - ▶ クラウドサーバ
 - ▶ IBMのAutonomic Computing
- ▶ CPS, IoTシステム
 - ▶ ワイヤレスセンサネットワーク
 - ▶ Deltalot: ネットワークのメンテナンス作業を自動化
 - ▶ ドローン制御



ソフトウェア工学各分野からのアプローチ

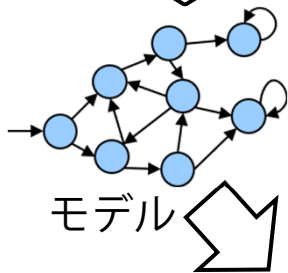
- ▶ 既存の各要素技術を拡張させる形で発展
- ▶ 要求工学からのアプローチ
 - ▶ 要求の監視, ゴールモデルの活用, 不確かさ
- ▶ ソフトウェア・アーキテクチャからのアプローチ
 - ▶ コンポーネント, MAPEループの分散配置
- ▶ 検証技術からのアプローチ
 - ▶ 動的検証
- ▶ 実行環境としてのアプローチ
 - ▶ プログラミングフレームワーク

検証技術



システム設計者

モデル
作成

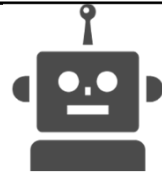


要求 (満たすべき性質)

検証

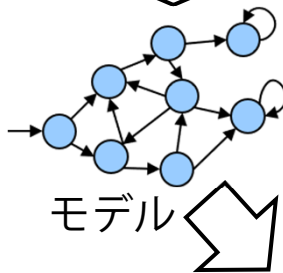
開発時

従来の検証



システム

モニタリングによる
モデル決定



要求 (満たすべき性質)

検証

実行時

動的検証

不確かさ(Uncertainty)

- ▶ 自己適応システムでは, 環境の**不確かさ**を扱う必要がある

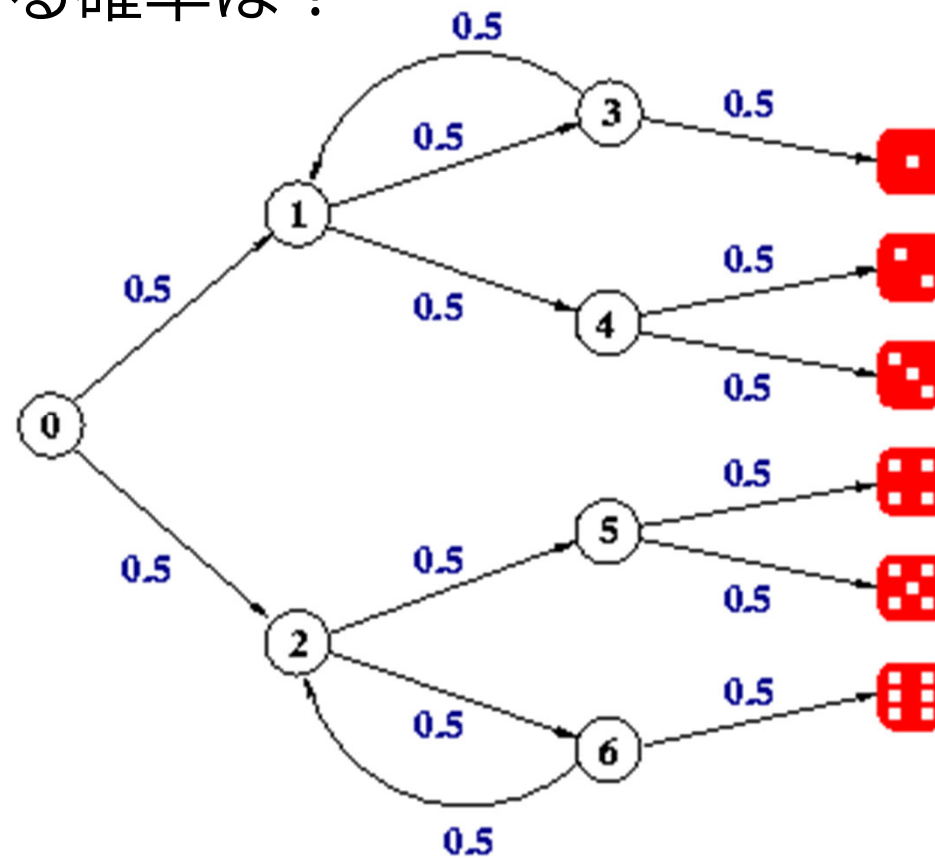
- ▶ 実行時の環境に依存する
 - ▶ 開発時には未知
- ▶ 必ずこうなるとは断定できない
 - ▶ システムの振舞いが成功するかもわからない
- ▶ ...

→ 確率の導入

- ▶ 確率に基づいた状態遷移モデル
- ▶ 不確かさを表現, 不確かさに基づいた定量的な検証が可能

サイコロ[KY76]

- ▶ コイントスによりサイコロの目を決定
- ▶ 各目の出る確率は？



<http://www.prismmodelchecker.org/tutorial/die.php>

- ▶ 14 [KY76] D. Knuth and A. Yao, The complexity of nonuniform random number generation. In Algorithms and Complexity: New Directions and Recent Results, Academic Press. 1976.

サイコロのモデル化

▶ DTMC (Discrete Time Markov Chains)

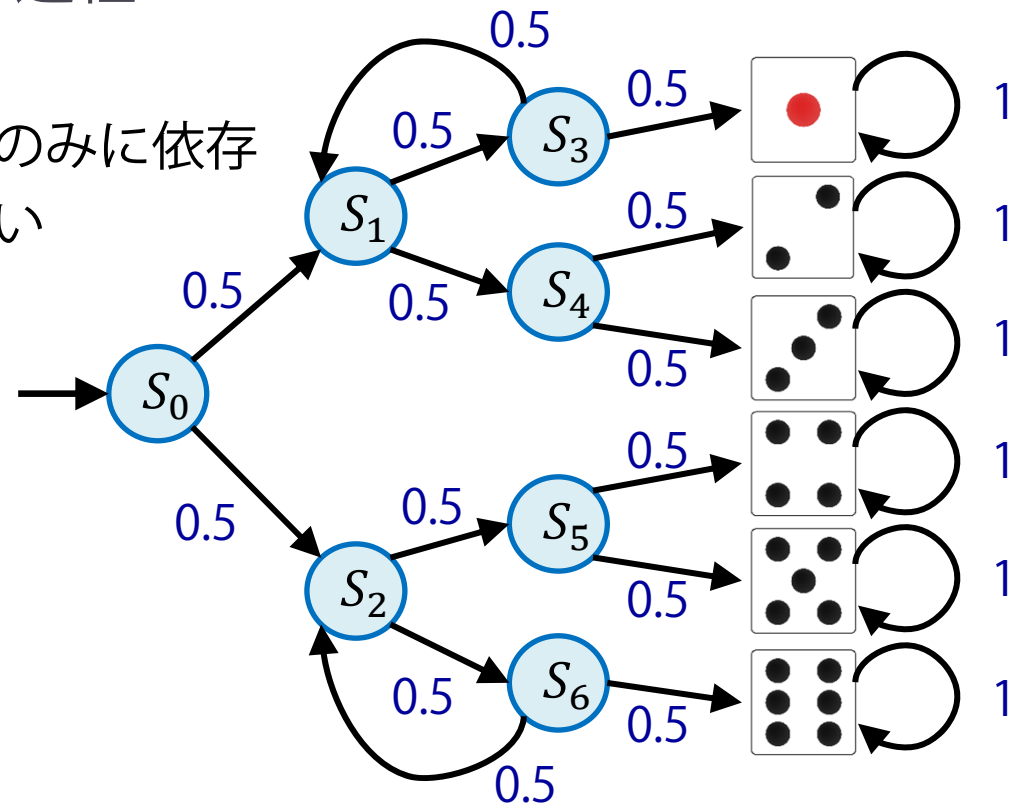
離散時間マルコフ連鎖

▶ 時間を離散とした確率過程

▶ マルコフ連鎖

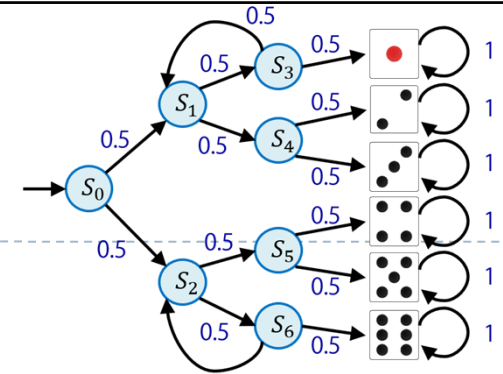
▶ 将来の状態が現在状態のみに依存

▶ 過去の状態に依存しない



PRISM

<https://www.prismmodelchecker.org/>



▶ 確率的モデル検査ツール

```
1 dtmc
2
3 module die
4
5     // local state
6     s : [0..7] init 0;
7     // value of the die
8     d : [0..6] init 0;
9
10    [] s=0 -> 0.5 : (s'=1) + 0.5 : (s'=2);
11    [] s=1 -> 0.5 : (s'=3) + 0.5 : (s'=4);
12    [] s=2 -> 0.5 : (s'=5) + 0.5 : (s'=6);
13    [] s=3 -> 0.5 : (s'=7) & (d'=1) + 0.5 : (s'=7) & (d'=2);
14    [] s=4 -> 0.5 : (s'=7) & (d'=3) + 0.5 : (s'=7) & (d'=4);
15    [] s=5 -> 0.5 : (s'=7) & (d'=5) + 0.5 : (s'=7) & (d'=6);
16    [] s=6 -> 0.5 : (s'=2) + 0.5 : (s'=7) & (d'=6);
17    [] s=7 -> (s'=7);
18
19 endmodule
20
```

PRISM 4.6

File Edit Model Properties Simulator Log Options

PRISM Model File: <Untitled>*

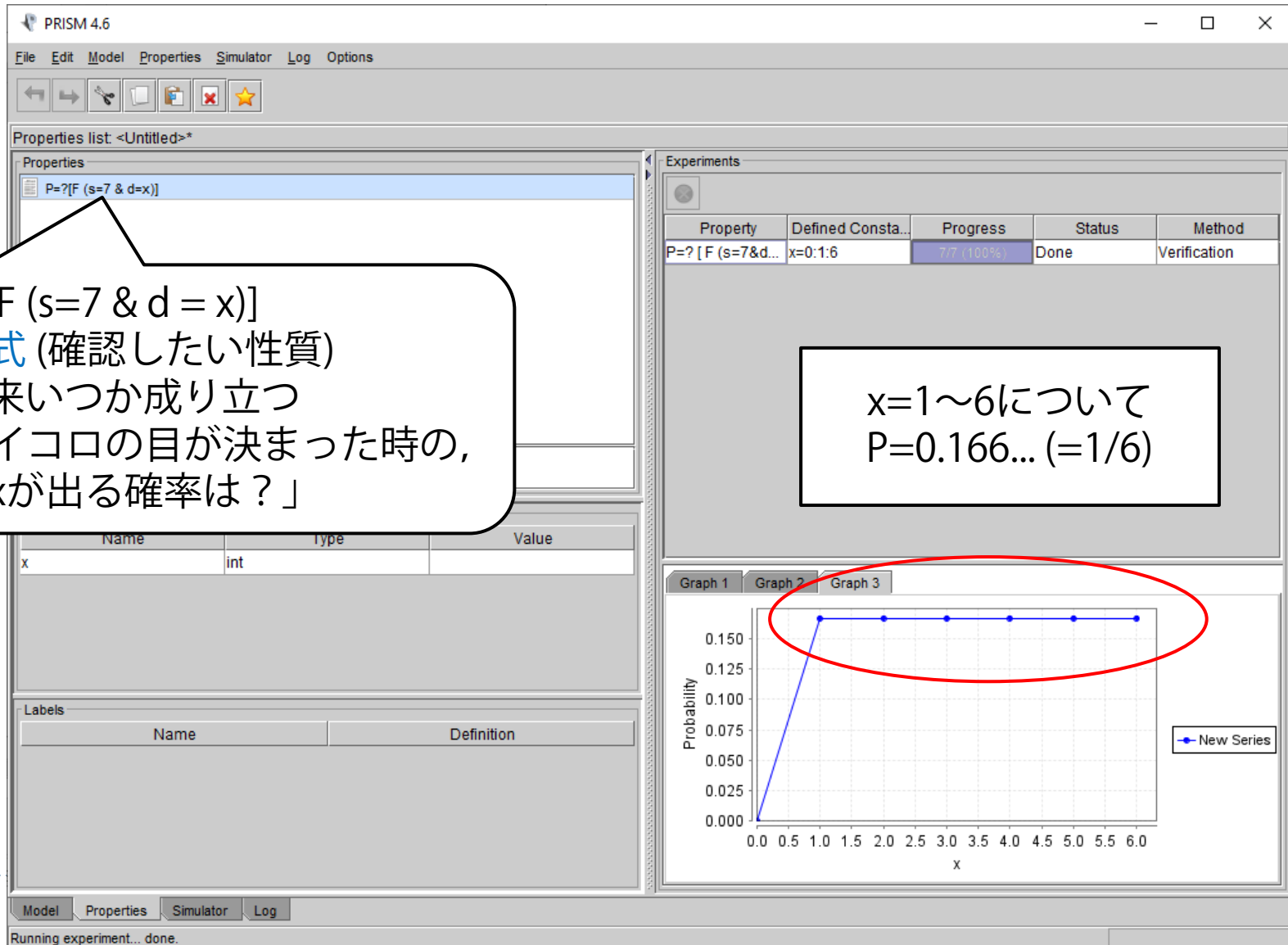
Model: <Untitled>
Type: DTMC
Modules

Built Model
States: 13
Initial states: 1
Transitions: 20

Model Properties Simulator Log

Running experiment... done.

検証結果



$P=? [F (s=7 \ \& \ d=x)]$
検証式 (確認したい性質)
F: 将来いつか成り立つ
「サイコロの目が決まった時の、
目xが出る確率は？」

$x=1 \sim 6$ について
 $P=0.166... (=1/6)$



Expression caching for runtime verification based on parameterized probabilistic models

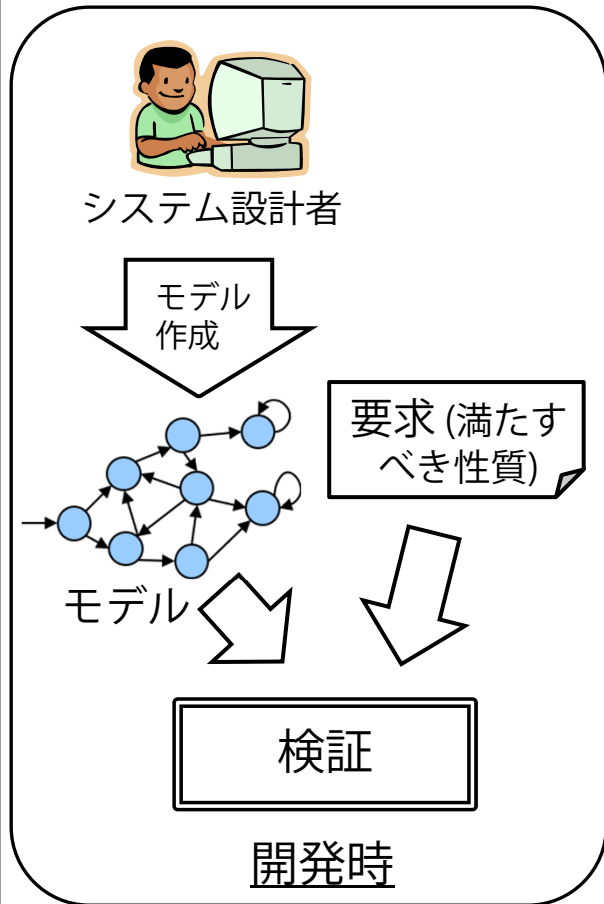
効率的な動的検証のためのパラメータ化確率モデルに基づいた
検証式キャッシュ

Hiroyuki Nakagawa¹, Hiromu Toyama², Tatsuhiro Tsuchiya¹

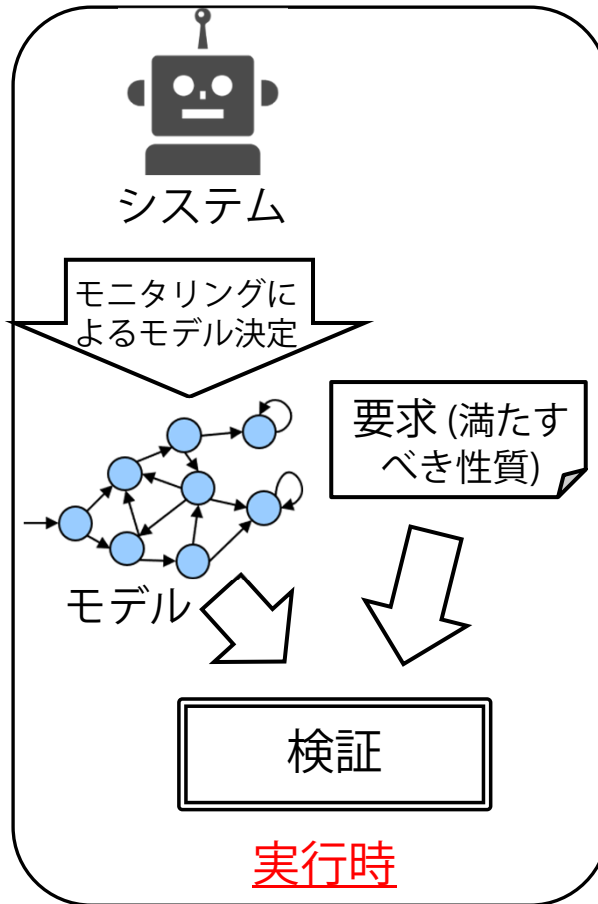
¹Osaka University, ²The University of Tokyo

The Journal of Systems and Software 156 (2019) 300–311, Elsevier

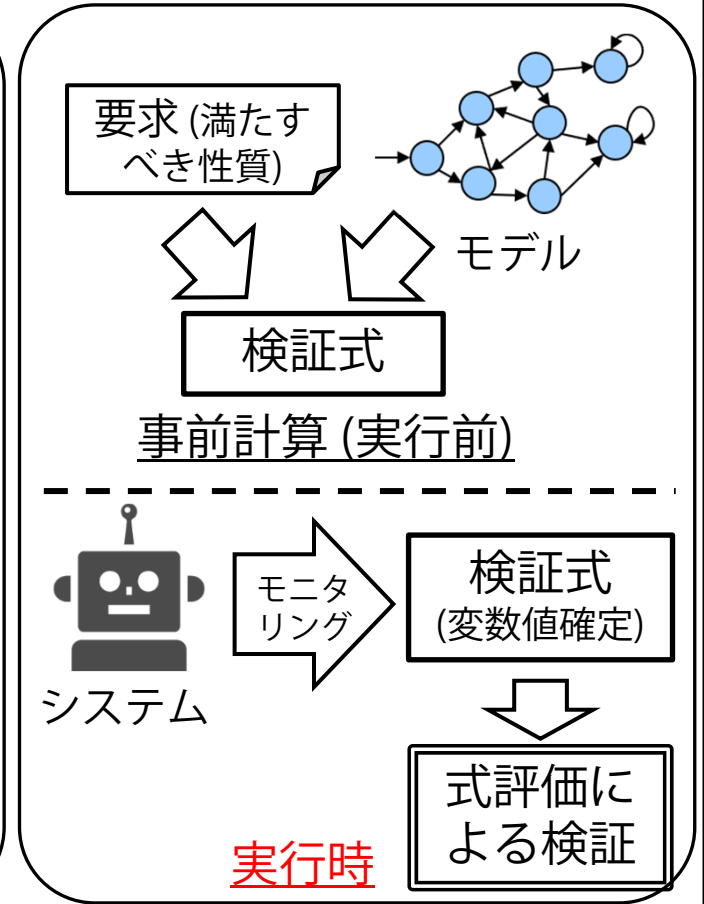
検証技術



従来の検証



動的検証



効率化された動的検証
[Fileri16]

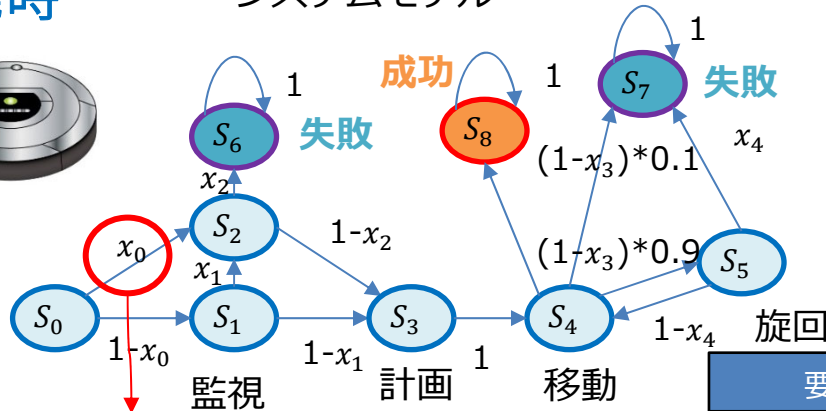
▶ 19 [Fileri16] A.Fileri, G.Tamburrelli, C. Ghezzi, Supporting self-adaptation via quantitative verification and sensitivity analysis at run time, IEEE Transactions on Software Engineering, 2016.

確率モデルを用いた振舞いの検査

開発時



システムモデル



変数: 値は実行時に判明

・成功(S₈に到達する)確率は95%以上

0	1-x ₀	x ₀	0	0	0	0	0	0	0
0	0	x ₁	1-x ₁	0	0	0	0	0	0
0	0	0	1-x ₂	0	0	x ₂	0	0	0
0	0	0	0	0.2	0.8	0	0	0	0
0	0	0	0	0	0.9(1-x ₃)	0	0.1(1-x ₃)	x ₃	0
0	0	0	0	1-x ₄	0	0	x ₄	0	0
0	0	0	0	0	0	0	1	0	0
0	0	0	0	0	0	0	0	1	0
0	0	0	0	0	0	0	0	0	1

行列化

検証式の構築
(計算時間大)

$f(x)$

実行時

モニタリング



検証

$x=0.1, x_2=0.5, \dots$

$f(0.1, 0.5, \dots)$

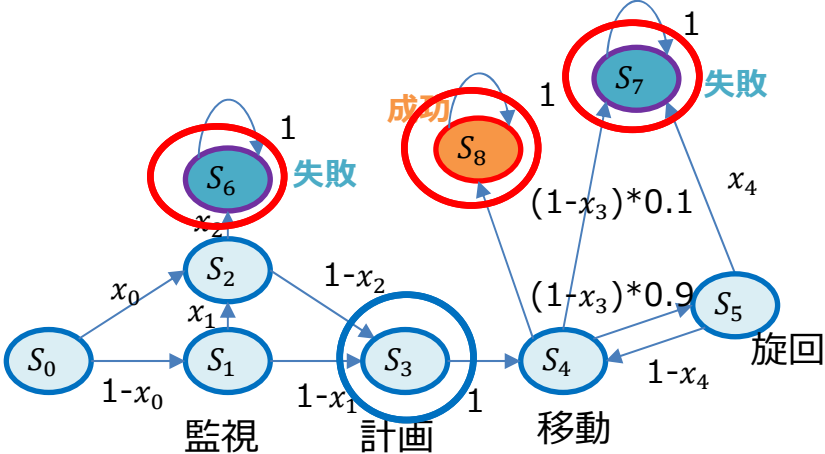
要求



検証式の中の変数への
値代入による検証

- ▶ 20 [Filieri16] A. Filieri, G. Tamburrelli, and C. Ghezzi, "Supporting self-adaptation via quantitative verification and sensitivity analysis at run time," IEEE Transactions on Software Engineering (TSE), vol. 42, no. 1, pp. 75–99, Jan 2016.

DTMC (Discrete Time Markov Chains)



- ▶ **吸収状態** s_i :
 - ▶ 一度到達すると他状態へ遷移できない状態
 - ▶ 遷移確率 $p_{ii} = 1$
- ▶ **遷移状態**:
 - ▶ 吸収状態ではない状態



$$P = \begin{pmatrix} \begin{array}{cccccc} 0 & 1-x_0 & x_0 & 0 & 0 & 0 \\ 0 & 0 & x_1 & 1-x_1 & 0 & 0 \\ 0 & 0 & 0 & 1-x_2 & 0 & 0 \\ 0 & 0 & 0 & 0 & 1 & 0 \\ 0 & 0 & 0 & 0 & 0 & 0.9(1-x_3) \\ 0 & 0 & 0 & 0 & 1-x_4 & 0 \end{array} & \begin{array}{ccc} \begin{array}{ccc} 0 & 0 & 0 \\ 0 & 0 & 0 \\ x_2 & 0 & 0 \\ 0 & 0 & 0 \\ 0 & 0.1(1-x_3) & x_3 \\ 0 & x_4 & 0 \end{array} & \begin{array}{ccc} \begin{array}{ccc} 1 & 0 & 0 \\ 0 & 1 & 0 \\ 0 & 0 & 1 \end{array} & \end{array} \end{pmatrix}$$

0 吸収状態 → 遷移状態
(zero matrix)

I 吸収状態 → 吸収状態
(identity matrix)

f(x)の生成法

- ▶ B : 遷移状態を複数回 (0回以上) 遷移した後に吸収状態へ遷移する確率を表す行列
- ▶ $B = N \times R$
 - ▶ $N = I + Q + Q^2 + \dots = \sum_{i=0}^{\infty} Q^i = (I - Q)^{-1}$
 - ▶ Q : 遷移状態 \rightarrow 遷移状態, R : 遷移状態 \rightarrow 吸収状態

$f(x)$

検証式

$$= b_{ik} = \frac{1}{\det(I - Q)} \sum_{x \in 0 \dots t-1} \alpha_{xi} (I - Q) \cdot r_{xj}$$

- b_{ik} : s_i から s_k への遷移確率
- $\det(M)$: M の行列式 (determinant)
- α_{xi} : 余因子 (cofactor)

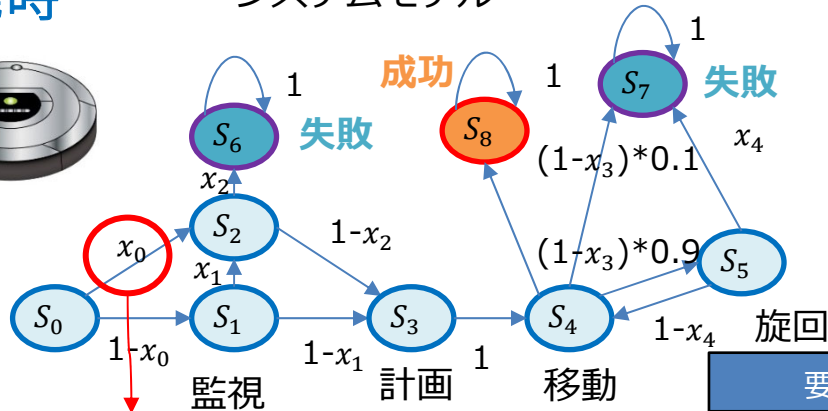
Laplace展開/LU分解を用いて算出

確率モデルを用いた振舞いの検査

開発時



システムモデル



行列化

$$\begin{bmatrix} 0 & 1-x_0 & x_0 & 0 & 0 & 0 & 0 & 0 & 0 \\ 0 & 0 & x_1 & 1-x_1 & 0 & 0 & 0 & 0 & 0 \\ 0 & 0 & 0 & 1-x_2 & 0 & 0 & x_2 & 0 & 0 \\ 0 & 0 & 0 & 0 & 0.2 & 0.8 & 0 & 0 & 0 \\ 0 & 0 & 0 & 0 & 0 & 0.9(1-x_3) & 0 & 0.1(1-x_3) & x_3 \\ 0 & 0 & 0 & 0 & 1-x_4 & 0 & 0 & x_4 & 0 \\ 0 & 0 & 0 & 0 & 0 & 0 & 0 & 1 & 0 \\ 0 & 0 & 0 & 0 & 0 & 0 & 0 & 0 & 1 \end{bmatrix}$$

変数: 値は実行時に判明

・成功(S₈に到達する)確率は95%以上

検証式の構築
(計算時間大)

$f(x)$

実行時

振舞い変更に伴う
システムモデルの変更

モニタリング

検証

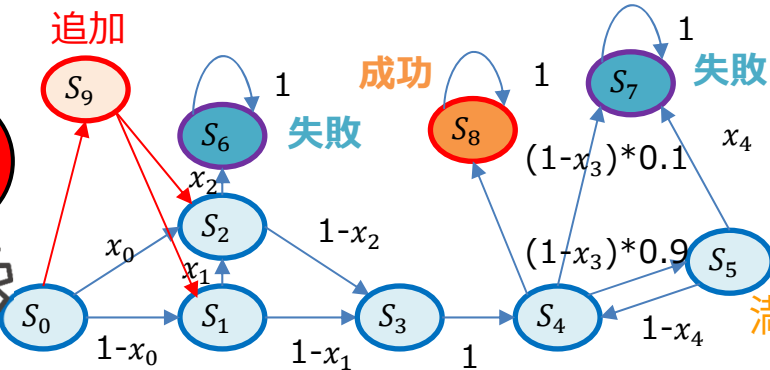
検証式の構築
(計算時間大)

センサの追加

$x=0.1, x_2=0.5, \dots$

$f(0.1, 0.5, \dots)$

$f'(x)$



要求が
満たされない

要求

✓ or ✗

検証式中の変数への
値代入による検証

- ▶ 23 [Fileri16] A. Fileri, G. Tamburrelli, and C. Ghezzi, "Supporting self-adaptation via quantitative verification and sensitivity analysis at run time," IEEE Transactions on Software Engineering (TSE), vol. 42, no. 1, pp. 75–99, Jan 2016.

解決策：キャッシュの利用 [Nakagawa16]

設計時

$f(x)$
の計算過程

$$\begin{aligned}
 & \left| \begin{array}{cccc} 0 & 0.2 & 0.1 & 0.5 \\ 0.01 & x_1 & 0 & 0.9 \\ 0 & x_2 & 0.5 & 0 \\ 0.2 & 0.7 & 0.01 & 0 \end{array} \right| \xrightarrow{\text{Laplace展開}} \\
 & = 0.01 \left| \begin{array}{ccc} 0.2 & 0.1 & 0.5 \\ x_2 & 0.5 & 0 \\ 0.7 & 0.01 & 0.02 \end{array} \right| + x_1 \left| \begin{array}{ccc} 0 & 0.1 & 0.5 \\ 0 & 0.5 & 0 \\ 0.2 & 0.01 & 0.02 \end{array} \right| + 0.9 \left| \begin{array}{ccc} 0 & 0.2 & 0.1 \\ 0 & x_2 & 0.5 \\ 0.2 & 0.7 & 0.01 \end{array} \right|
 \end{aligned}$$

(サブ)行列と検証式のペアを
キャッシュに保存

実行時 (振舞いの変化)

$f'(x)$
の計算過程

状態が追加された

$$\begin{aligned}
 & \left| \begin{array}{cccc|c} 0 & 0.2 & 0.1 & 0.5 & x_4 \\ 0.01 & x_1 & 0 & 0.9 & 0 \\ 0 & x_2 & 0.5 & 0 & 0 \\ 0.2 & 0.7 & 0.01 & 0.02 & 0 \\ \hline 0 & 1-x_3 & 0 & 0 & x_3 \end{array} \right| \\
 & = (1-x_3) \left| \begin{array}{cccc|c} 0 & 0.1 & 0.5 & x_4 \\ 0.01 & 0 & 0.9 & 0 \\ 0 & 0.5 & 0 & 0 \\ 0.2 & 0.01 & 0.02 & 0 \end{array} \right| + x_3 \left| \begin{array}{ccc} 0 & 0.2 & 0.1 \\ 0.01 & x_1 & 0 \\ 0 & x_2 & 0.5 \\ 0.2 & 0.7 & 0.01 \end{array} \right|
 \end{aligned}$$

$f'_1(x)$

キャッシュから行列を探し、検証式に置き換える



キャッシュ利用時の問題点

- ・ 遷移確率が少しでも変化した場合に対応できない
- ・ DTMCモデルが完全に一致する可能性が低く、キャッシュヒットしにくい

《設計時》

0	0.2	0.1	0.5
0.01	x_1	0	0.9
0	x_2	0.5	0
0.2	0.7	0.01	0.02

=
Laplace展開とLU分解を利用
= $f(x)$

↓ 置換したいが...

《実行時》

<状態が追加された行列>				
0	$0.2 - x_4$	0.1	0.5	x_4
0.01	x_1	0	0.9	0
0	x_2	0.5	0	0
0.2	0.7	0.01	0.02	0
0	$1 - x_3$	0	0	x_3

=

$1 - x_3$	0	0.1	0.5	x_4
	0.01	0	0.9	0
	0	0.5	0	0
	0.2	0.01	0.02	0

+

x_3	0	0.1	0.5	x_4
	0.01	0	0.9	0
	0	0.5	0	0
	0.2	0.01	0.02	0

状態追加の場合など変更されやすく
キャッシュヒット率が悪い

0	$0.2 - x_4$	0.1	0.5
0.01	x_1	0	0.9
0	x_2	0.5	0
0.2	0.7	0.01	0.02

[アイデア] 遷移確率のパラメータ化

遷移確率が変化した場合

先行研究のキャッシュ内モデル

$$\begin{pmatrix} 0.3 - x_0 & 0.7 + x_0 & 0 & 0 & 0 & 0 & 0 \\ 0.2 & 0.2 & 0.1 - x_2 & 0 & x_2 & 0.3 & 0.2 \\ 0 & 0 & 0.4 - x_1 & 0.6 + x_1 & 0 & 0 & 0 \\ 0.3 & 0 & 0.2 & 0.3 & 0 & 0.1 & 0.1 \\ 0.4 & 0.3 & 0 & 0 & 0.1 & 0.1 & 0.1 \\ 0 & 0 & 0 & 0 & 0 & 1 & 0 \\ 0 & 0 & 0 & 0 & 0 & 0 & 1 \end{pmatrix}$$

振る舞い変更後モデル

$$\begin{pmatrix} 0.2 - x_0 & 0.8 + x_0 & 0 & 0 & 0 & 0 & 0 \\ 0.1 & 0.3 & 0.1 - x_2 & 0 & x_2 & 0.3 & 0.2 \\ 0 & 0 & 0.4 - x_1 & 0.6 + x_1 & 0 & 0 & 0 \\ 0.3 & 0 & 0.2 & 0.3 & 0 & 0.1 & 0.1 \\ 0.6 - x_3 & 0.4 + x_3 & 0 & 0 & 0 & 0 & 0 \\ 0 & 0 & 0 & 0 & 0 & 1 & 0 \\ 0 & 0 & 0 & 0 & 0 & 0 & 1 \end{pmatrix}$$

更に変数化したモデル

$$\begin{pmatrix} \alpha_2 & \alpha_3 & 0 & 0 & \alpha_4 & 0 & 0 \\ \alpha_5 & \alpha_6 & \alpha_7 & 0 & \alpha_8 & \alpha_9 & \alpha_{10} \\ 0 & 0 & 0.4 - x_1 & 0.6 + x_1 & 0 & 0 & 0 \\ 0.3 & 0 & 0.2 & 0.3 & 0 & 0.1 & 0.1 \\ \alpha_{11} & \alpha_{12} & 0 & 0 & \alpha_{13} & \alpha_{14} & \alpha_{15} \\ 0 & 0 & 0 & 0 & 0 & 1 & 0 \\ 0 & 0 & 0 & 0 & 0 & 0 & 1 \end{pmatrix}$$

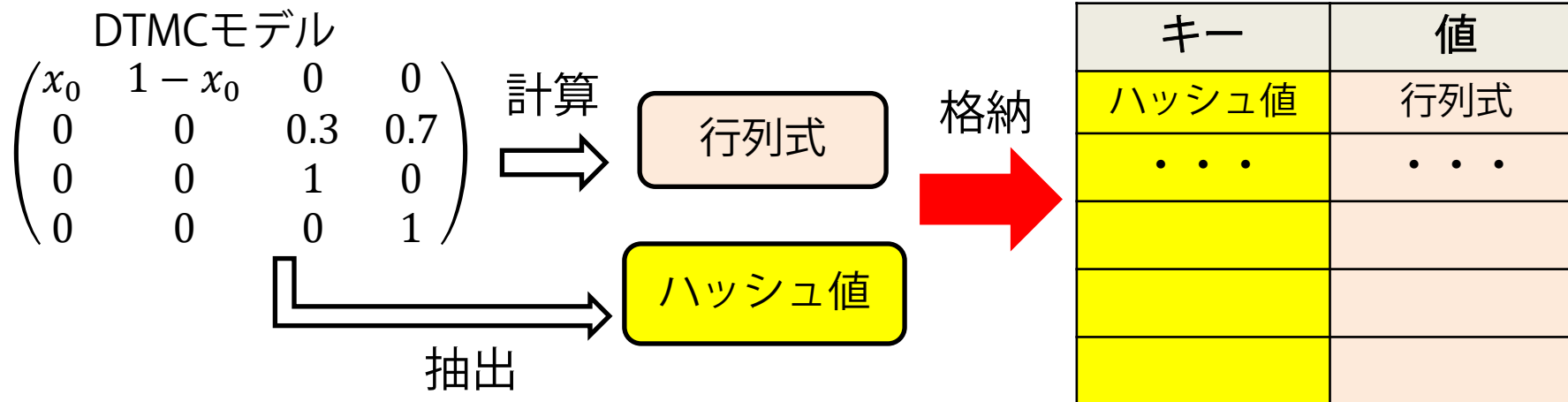
再利用できない

再利用可能

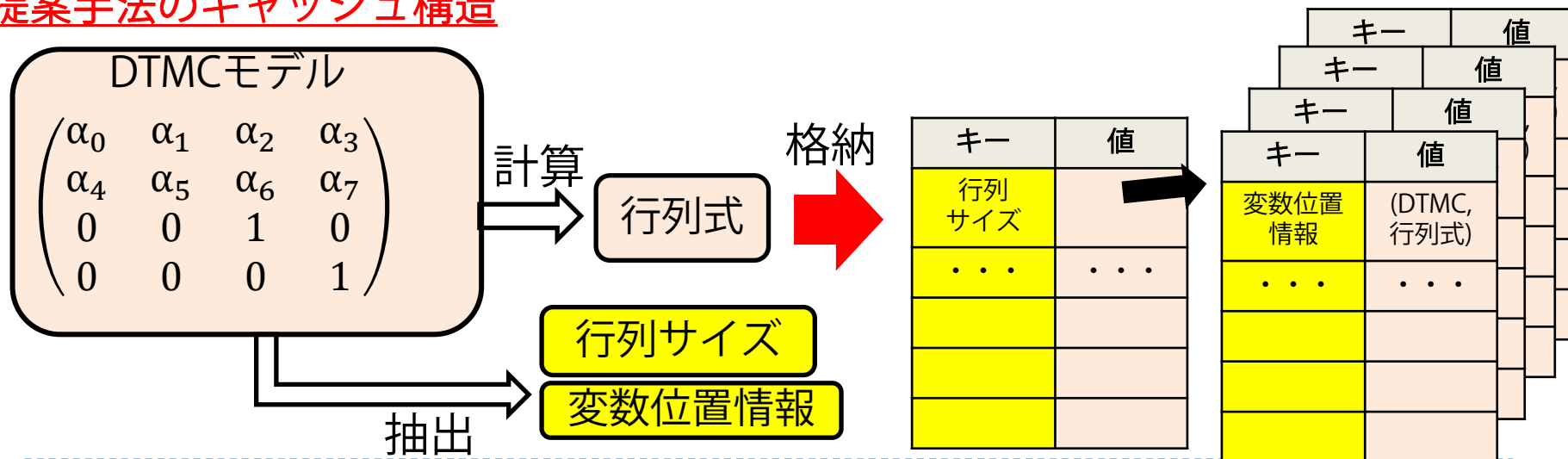
$$\begin{aligned} \alpha_2 &\leftarrow 0.2 - x_0, & \alpha_3 &\leftarrow 0.7 + x_0 \\ \alpha_5 &\leftarrow 0.2, & \alpha_6 &\leftarrow 0.2 \\ \dots & & & \end{aligned}$$

[細かい話] キャッシュの再構築

先行研究でのキャッシュ構造



提案手法のキャッシュ構造



[細かい話] 変数位置によるフィルタリング

行列

$$\begin{pmatrix} 1 & 1 & \alpha_0 & 0 \\ 1 & \alpha_1 & 1 & \alpha_2 \\ 0 & 0 & \alpha_3 & \alpha_4 \\ \alpha_5 & 0 & \alpha_6 & 0 \end{pmatrix}$$



$\begin{pmatrix} \text{False} & \text{False} & \text{True} & \text{False} \\ \text{False} & \text{True} & \text{False} & \text{True} \\ \text{False} & \text{False} & \text{True} & \text{True} \\ \text{True} & \text{False} & \text{True} & \text{False} \end{pmatrix}$



$[F, F, T, F, F, T, F, T, F, F, T, T, T, F, T, F]$

変数位置情報配列

入力a	入力b	出力c
True	True	True
True	False	False
False	True	True
False	False	True

入力時: True:変数を含む
 False:変数を含まない

 出力時: True:キャッシュヒットする
 False:キャッシュヒットしない

a:検索している行列の要素
 b:キャッシュに格納されている行列の要素
 c:出力

$$c = \bar{a} + b$$

[細かい話] 変数位置によるフィルタリング

検索している行列

$$\begin{pmatrix} 1 & 1 & x_0 \\ 1 & x_1 & 1 \\ 0 & 0 & x_2 \end{pmatrix}$$

$a[F, F, T, F, T, F, F, F, T]$

キャッシュに保存されている行列

$$\begin{pmatrix} \alpha_i & 1 & \alpha_0 \\ \alpha_j & \alpha_1 & 1 \\ 0 & 0 & \alpha_2 \end{pmatrix}$$

$b[T, F, T, T, T, F, F, F, T]$

$$c = \bar{a} + b$$



$c[T, T, T, T, T, T, T, T, T]$

全てTrueなのでキャッシュヒット

検索している行列

$$\begin{pmatrix} 1 & 1 & x_0 \\ 1 & x_1 & 1 \\ 0 & 0 & x_2 \end{pmatrix}$$

$a[F, F, T, F, T, F, F, F, T]$

キャッシュに保存されている行列

$$\begin{pmatrix} 1 & 1 & \alpha_0 \\ 1 & \alpha_1 & 1 \\ 0 & 0 & \mathbf{1} \end{pmatrix}$$

$b[F, F, T, F, T, F, F, F, F]$

実行時パラメータは定数にならない

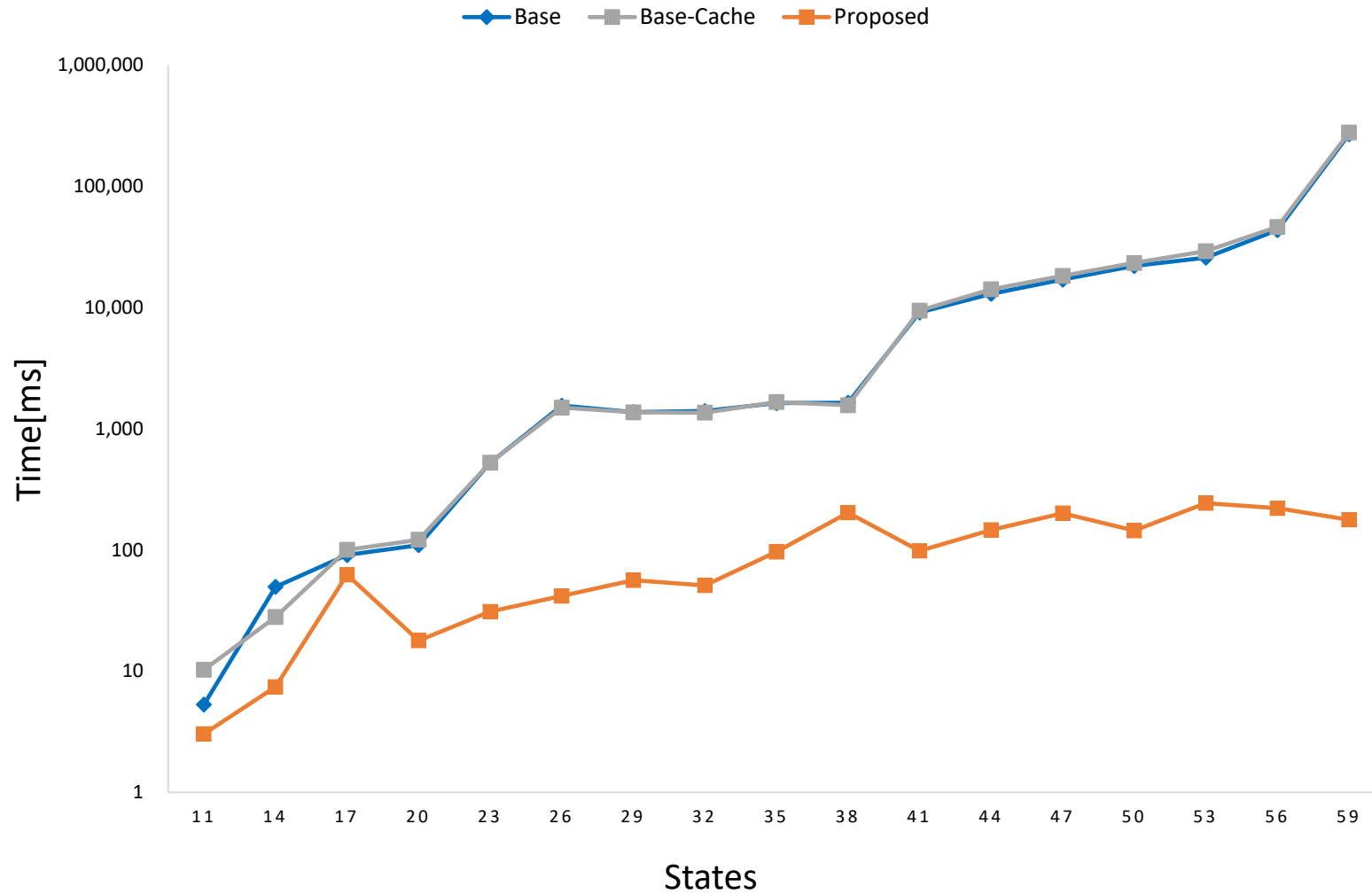
$$c = \bar{a} + b$$



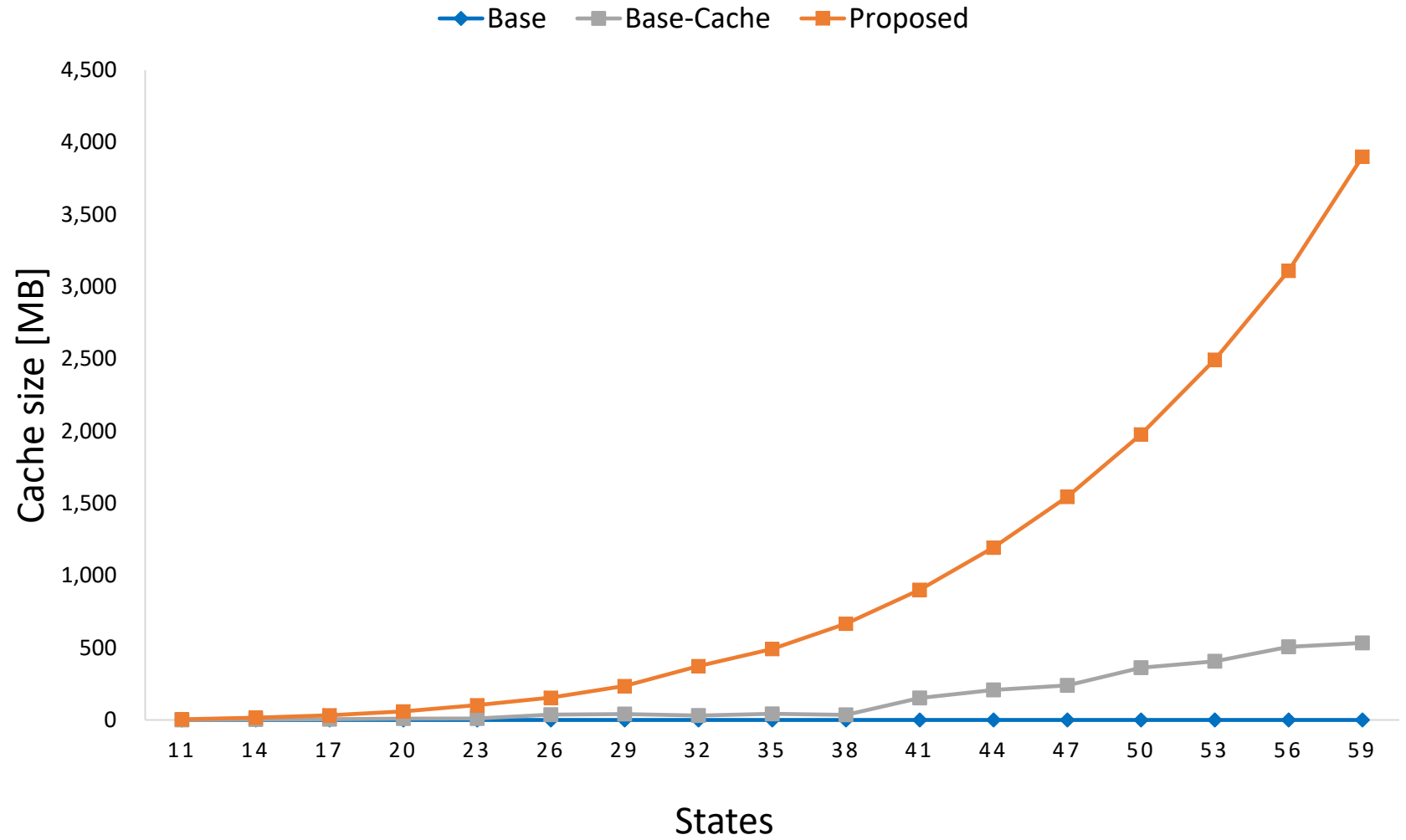
$c[T, T, T, T, T, T, T, T, F]$

Falseがあるのでキャッシュヒットしない

実験結果：検証式構築時間

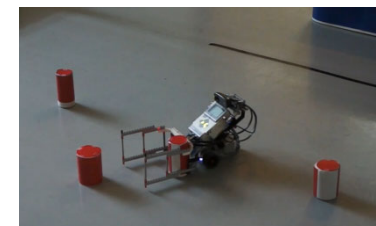
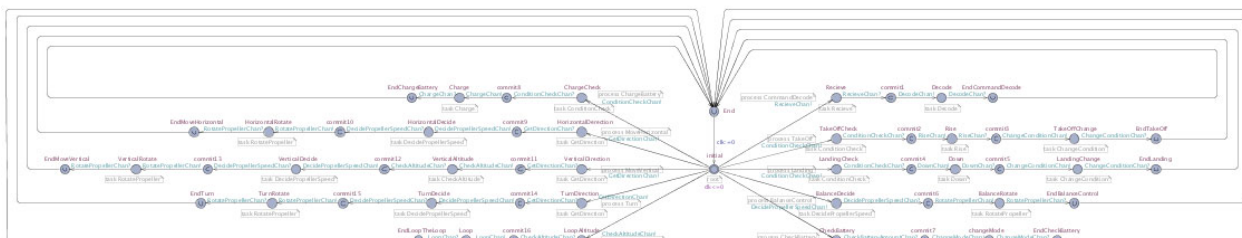
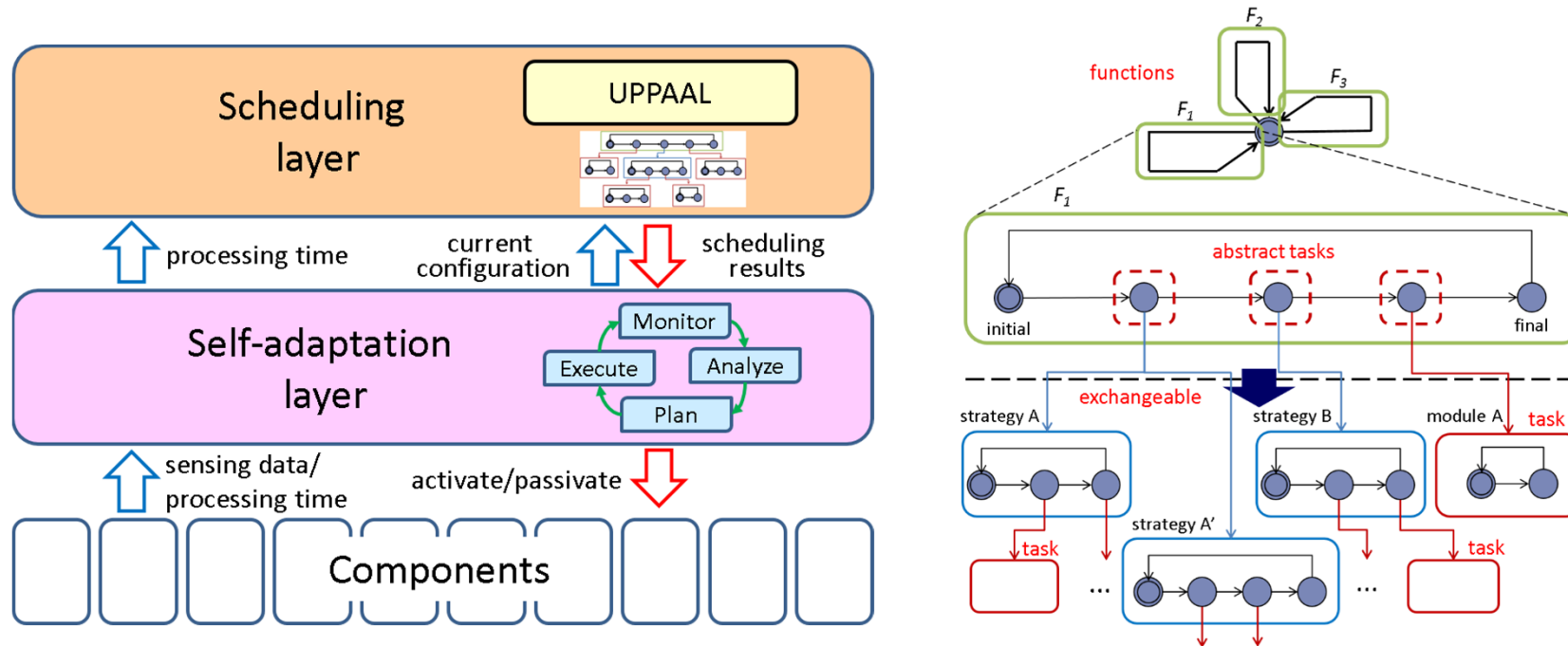


キャッシュサイズ



時間制約を遵守する自己適応システム [Nakagawa19]

▶ UPPAAL(モデル検査ツール)を動的に利用した時間管理



- ▶ 32 [Nakagawa19] H. Nakagawa, H. Tsuda, T. Tsuchiya, Towards Real-time Self-adaptation Using a Verification Mechanism, The 31st Euromicro Conference on Real-Time Systems (ECRTS 2019), 2019.

まとめ

[第2部] 自己適応システムとモデル検査の応用

▶ 自己適応システム

- ▶ $W \wedge S \vdash R \xrightarrow{W \rightarrow W'} W' \wedge S \not\vdash R \xrightarrow{S \rightarrow S'} W' \wedge S' \vdash R$
を自らが実現可能なシステム
- ▶ MAPE-K loopメカニズム

▶ モデル検査技術

- ▶ 自己適応システム：動的検証，不確かな環境
→ 確率的モデル検査
 - ▶ DTMCを用いたシステムモデル記述
 - ▶ 確率的モデル検査ツール: PRISM